

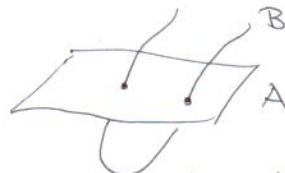
Teoría de Intersección Valparaíso (Semana 1):

Referencia principal: "Intersection Theory in Algebraic Geometry" por François Grenier / C

Motivación: Sea X variedad proyectiva suave de $\dim_{\mathbb{C}}(X) = m$.

Dadas subvariedades (\circ subesquemas) $A, B \subseteq X$ nos gustaría definir/entender $A \cap B$ y que si $\#(A \cap B) < +\infty$ nos gustaría definir un "número de intersección" $A \cdot B \in \mathbb{Z}$ que tome en cuenta tangencias, multiplicidades, etc.

Obs: Si $A, B \subseteq X$ suaves \checkmark y se intersectan transversalmente (i.e., $T_p X = T_p A \oplus T_p B$ $\forall p \in A \cap B$) entonces $\text{codim}(A \cap B) = \text{codim}(A) + \text{codim}(B)$.



Sobre \mathbb{C} , podemos considerar el anillo de cohomología singular $H^*(X, \mathbb{Z}) = \bigoplus_{k=0}^{2m} H^k(X, \mathbb{Z})$

$\hookrightarrow \text{codim}_X(A) = k$ y $\text{codim}_X(B) = l$ entonces $[A] \in H^{2k}(X, \mathbb{Z})$ y $[B] \in H^{2l}(X, \mathbb{Z})$

Luego, podemos definir $[A] \cdot [B] := [A] \cup [B] \in H^{2(k+l)}(X, \mathbb{Z})$, y dicho producto es comutativo (pues sólo consideramos codim. real para!).

Ejemplo: En $\mathbb{P}^n = \mathbb{P}^n(\mathbb{C})$ tenemos $\mathbb{P}^n = \{[z_0, \dots, z_n], z_0 \neq 0\} \cup \{[0, z_1, \dots, z_n]\} \cong \mathbb{A}^n \cup \mathbb{R}^{n-1}$

y así $\mathbb{P}^n \cong \mathbb{A}^n \cup \mathbb{A}^{n-1} \cup \dots \cup \mathbb{A}^1 \cup \{\text{pt}\}$.

$$\Rightarrow H^*(\mathbb{P}^n, \mathbb{Z}) \cong \begin{cases} \mathbb{Z} & \text{si } i \text{ par} \\ \{0\} & \text{si } i \text{ impar} \end{cases}$$

Más precisamente, $H^{2k}(\mathbb{P}^n, \mathbb{Z}) \cong \mathbb{Z}[L_k]$ con $L_k \cong \mathbb{P}^{n-k}$ subesp. lineal.

Si $H := L_1 \cong \mathbb{P}^{n-1}$ hiperplano, entonces $[L_k] = [H]^k$ y así $H^*(\mathbb{P}^n, \mathbb{Z}) \cong \mathbb{Z}[H]/(H^{n+1})$

Consecuencia: Sea $X \subseteq \mathbb{P}^n$ subvar. de $\dim_{\mathbb{C}}(X) = l$. La dg. clásica de grado es el n.º de puntos en $X \cap H_1 \cap \dots \cap H_e$ donde H_i : hiperplanos generales en \mathbb{P}^n .

Usando Teo. de Intersección (ej. en $H^*(\mathbb{P}^n, \mathbb{Z})$):

$$[X] = d[H]^{n-l} \text{ cierto } d \text{ y luego } [X \cap H_1 \cap \dots \cap H_e] = [X] \cdot [H_1] \cdots [H_e] = d[H]^{n-l} [H]^e = d$$

$\therefore d = \deg(X)$

Ejemplo (Bézout): Sean $C_1, C_2 \subseteq \mathbb{P}^2$ curvas de grado d_1, d_2 , i.e., $[C_1] = d_1[H]$ y $[C_2] = d_2[H]$. Entonces, $[C_1] \cdot [C_2] = d_1 d_2 [H]^2 = d_1 d_2 = [C_1 \cap C_2]$

⚠ El cálculo anterior es válido cuando C_1 y C_2 no se intersectan transversalmente (ej. $C_1 = C_2$!). Para dar una interpretación correcta hay que considerar:

① Multiplicidades

② "Excesos" (más adelante...).

A pesar de esto, el cálculo "invacante" es muy útil de todas formas. Por ejemplo:

① Sean $l_1, l_2, l_3, l_4 \subseteq \mathbb{P}^3$ 4 rectas generales. ¿Cuántas rectas $l \subseteq \mathbb{P}^3$ intersectan l_1, l_2, l_3, l_4 ?

Idea: $\Rightarrow l_1 \cap l_2 = \{p\}$ (\Rightarrow no son generales)

Como l intersecta l_1 y l_2 :

① $l \subseteq H$ y luego $l = \overline{pq}$ con $p = H \cap l_3, q = H \cap l_4$

obviamente: ② $p \notin l \notin H$: $l_3 \cap l_4 = \{q\}$ y luego $l = \overline{pq}$.

\Rightarrow Hay 2 posibles rectas!

Heurística: Este "caso especial" se deforma al "caso general" sin cambiar la respuesta.

Más formalmente:

Dic $G_r := G_r(1,3) = G_r(2,4)$ la grannianiana de $l \cong \mathbb{P}^1$ en \mathbb{P}^3 , i.e., $L \cong \mathbb{C}^2$ en \mathbb{C}^4 .

Plücker: $G_r \hookrightarrow \mathbb{P}(R[\mathbb{C}^4]) \cong \mathbb{P}^5$, $L = \text{Vect}_{\mathbb{C}}(v_1, v_2) \mapsto [v_1 \wedge v_2]$

La imagen es la matriz de \mathbb{P}^5 Plücker $G_r \cong Q = \{x_0x_1 - x_2x_3 + x_4x_5 = 0\} \subseteq \mathbb{P}^5$.

Para $l_0 \subseteq \mathbb{P}^3$, digamos la subvariedad de Schubert

$$\Sigma(l_0) := \{ \text{Rectas } l \subseteq \mathbb{P}^3 \text{ tal que } l \cap l_0 \neq \emptyset \} \subseteq G_r.$$

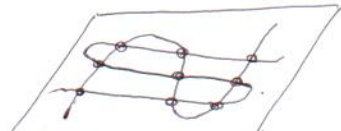
Usando coord. de Plücker se puede ver que $\Sigma(l_0) = G_r \cap H_{l_0}$, con $H_{l_0} \cong \mathbb{P}^4$ es el hiperplano de \mathbb{P}^5 tangente a G_r en el punto $[l_0]$.

Finalmente, tenemos que el nº buscado es $[\Sigma(l_1)] \cdot [\Sigma(l_2)] \cdot [\Sigma(l_3)] \cdot [\Sigma(l_4)] = [Q] \cdot [H]^4 = 2 \cdot [H] \cdot [H]^4 = 2$ ✓

$$\deg Q = 2$$

Obr: Más generalmente se puede calcular $H^*(G_r(k,n), \mathbb{Z})$ y las fórmulas que aparecen en este contexto se conocen como "cálculo de Schubert".

② Sean $C_1 = \{f = 0\}, C_2 = \{g = 0\} \subseteq \mathbb{P}^2$ dos cubicas suaves generales



$$\text{Birgant: } C_1 \cap C_2 = \{p_1, \dots, p_9\}.$$

Consideraremos el "pincel" de cubicas generadas por C_1 y C_2

~~$\{ \lambda f + \mu g = 0 \} \quad [\lambda, \mu] \in \mathbb{P}^1$~~

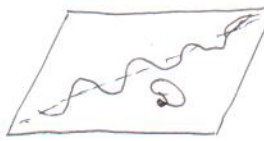
i.e., las fibras de $\mathbb{P}^2 \dashrightarrow \mathbb{P}^1$, $[x, y, z] \mapsto [f(x, y, z), -g(x, y, z)]$.

~~Birgant~~ $\dashrightarrow \{p_1, \dots, p_9\}$ y no está bien definido en $\{p_1, \dots, p_9\}$.

$\Rightarrow X := Bl_{p_1, \dots, p_9}(\mathbb{P}^2) \xrightarrow{\cong} \mathbb{P}^1$ resuelve las indeterminaciones de \dashrightarrow ,

y obtenemos una fibración elíptica.

¿Cuántas fibras singulares tiene típicamente \dashrightarrow ?



$\mathbb{P}H^0(\mathbb{P}^2, \mathcal{O}_{\mathbb{P}^2}(3)) \cong \mathbb{P}^9$. Hedra: $\exists D \subseteq \mathbb{P}^9$ divisor tal que $[C] \in D \iff C \subseteq \mathbb{P}^2$ es singular.

Además, $\deg(D) = 12$.

\dashrightarrow tiene arista $\mathbb{P}^1_{\dashrightarrow} \subseteq \mathbb{P}^9$ y así la respuesta es $[\mathbb{P}^1_{\dashrightarrow}] \cdot [D] = 12$.

Objetivo: Tener una versión algebraica de $H^*(X, \mathbb{Z})$ en Anillo de Chow $A^*(X) = CH(X)$ (3)

Lo primero es definir la intersección entre divisorios (de Cartier) y subvariedades.

Recuerdo: Sea X var. proy suave/ \mathbb{C} , $\dim_{\mathbb{C}}(X) = m$ y sea $\mathcal{L} \cong \mathcal{O}_X(D)$ en $\text{Pic}(X)$. Si $\dim_{\mathbb{C}} X = 1$, $D = \sum_{i=1}^r n_i \cdot [p_i]$, $p_i \in X$ punto, y $\deg(D) = \sum_{i=1}^r n_i$ no depende de la clase de equivalencia lineal $D = D' + \text{div}(f)$ y $\deg(\text{div}(f)) = 0$.

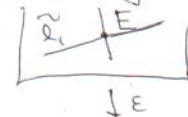
Más generalmente (ver eg. "Higher Dimensional Alg. Geometry" por Olivier Debarre):

- ① Si $\Gamma \subseteq X$ curva irreducible, entonces $v: \Gamma' \rightarrow \Gamma$ (normalización) produce Γ' suave proy y definimos

$$D \cdot \Gamma := \deg(v^*(\mathcal{O}_X(D)|_{\Gamma})) \in \mathbb{Z}$$

En part., si $D \sim D'$ entonces $D \cdot \Gamma = D' \cdot \Gamma$.

Ej (a) Si $X = \mathbb{P}^2$, $D = C_1 \sim d_1 \cdot l$, $\Gamma = C_2 \sim d_2 \cdot l$ curvas de grados d_1, d_2
 $\Rightarrow D \cdot \Gamma = d_1 d_2 \cdot (l \cdot l) = d_1 d_2$ (Bézout).



(b) Si $X = \text{Bl}_p(\mathbb{P}^2)$ y $D = \Gamma = E$:

$$\left. \begin{array}{l} \varepsilon^* l_1 = \tilde{l}_1 + E \quad / \cdot E \\ \varepsilon^* l_2 = \tilde{l}_2 \quad / \cdot E \end{array} \right\} \Rightarrow \underbrace{E \cdot \tilde{l}_2}_{=0} = \underbrace{\tilde{l}_1 \cdot E}_{=1} + E^2$$



$$\text{y así } E^2 = -1$$

- ② Si $F \in \text{Coh}(X)$ y $\mathcal{L} \in \text{Pic}(X)$ entonces $\exists P \in \mathbb{Q}[m]$ con $\deg(P) \leq \dim \text{Supp}(F)$ tal que $P(m) = \chi(X, F \otimes \mathcal{L}^{\otimes m}) \cong \sum_{i=0}^r (-1)^i h^i(X, F \otimes \mathcal{L}^{\otimes m}) \quad \forall m \in \mathbb{Z}$.

Si escribimos $\chi(X, F \otimes \mathcal{L}^{\otimes m}) = c \cdot \frac{m^d}{d!} + O(m^{d-1})$ con $d = \deg(F)$, entonces $c := \mathcal{L}^d \cdot F = D^d \cdot F \quad \text{si } \mathcal{L} = \mathcal{O}_X(D)$.

Ej (a) Si $F = \mathcal{O}_X$, $d = m$, entonces $\mathcal{L}^m \cdot \mathcal{O}_X = \mathcal{L}^m = D^m$ auto-intersección.

(b) $y \subseteq X$ subvar de $\dim_{\mathbb{C}}(X) = d$ y $F = \mathcal{O}_Y$, entonces obtenemos

$$\mathcal{L}^d \cdot Y = D^d \cdot Y = (\mathcal{L}|_Y)^d = (D|_Y)^d$$

(c) Si $X \xrightarrow{i} \mathbb{P}^n$ inyectada vía $\mathcal{O}_X(1) := i^* \mathcal{O}_{\mathbb{P}^n}(1)$ muy amplia. Entonces

$$\chi(X, \mathcal{O}_X(m)) = \deg(X) \frac{m^d}{d!} + O(m^{d-1}) \text{ con } d = d(X), \text{ e, } \deg(X) = (\mathcal{O}_X(1))^d$$

- ③ Si $\mathcal{L}_1, \dots, \mathcal{L}_r \in \text{Pic}(X)$ con $\mathcal{L}_i \cong \mathcal{O}_X(D_i)$ y $F \in \text{Coh}(X)$ ~~entonces~~ entonces

$P(m_1, \dots, m_r) = \chi(X, F \otimes \mathcal{L}_1^{\otimes m_1} \otimes \dots \otimes \mathcal{L}_r^{\otimes m_r})$ para auto $P \in \mathbb{Q}[m_1, \dots, m_r]$ de grado total $d \leq \dim \text{Supp}(F)$. Si $r = n = \dim(X)$, se dice

$$D_1 \cdots D_n = \mathcal{L}_1 \cdots \mathcal{L}_n = \text{coy. de } m_1, \dots, m_r \text{ de } \chi(X, \mathcal{L}_1^{\otimes m_1} \otimes \dots \otimes \mathcal{L}_n^{\otimes m_n})$$

Entonces: (a) Si $Y \subseteq X$ subvar de ~~dim~~ r , $\mathcal{L}_1 \cdots \mathcal{L}_r \cdot Y := (\mathcal{L}_1|_Y) \cdots (\mathcal{L}_r|_Y)$.

(b) La aplicación $(\mathcal{L}_1, \dots, \mathcal{L}_n) \mapsto \mathcal{L}_1 \cdots \mathcal{L}_n$ es multilinear simétrica con ordenes en \mathbb{Z} .

(c) Si $Y \in |D_{\text{tot}}|$ entonces $\mathcal{L}_1 \cdots \mathcal{L}_n \cdot \mathcal{L}_{n+1} \cdots \mathcal{L}_m \cdot Y = (\mathcal{L}_1|_Y) \cdots (\mathcal{L}_m|_Y)$.

(d) Fórmula de Proyección: $\pi: Y \rightarrow X$ sobre X y Y proy, entonces si $n = \dim(X) = \dim(Y)$

$$\pi^* \mathcal{L}_1 \cdots \pi^* \mathcal{L}_n = \deg(\pi)(\mathcal{L}_1 \cdots \mathcal{L}_n)$$